

La tension de Hall s'exprime par :

$$U_H = \frac{IB}{neb}$$

où n est la densité des porteurs de charge.

On pose parfois $R_H = \frac{1}{ne}$ constante de Hall.

Il est clair que l'effet est d'autant plus sensible que n est faible c'est pourquoi on utilise généralement les semi-conducteurs.

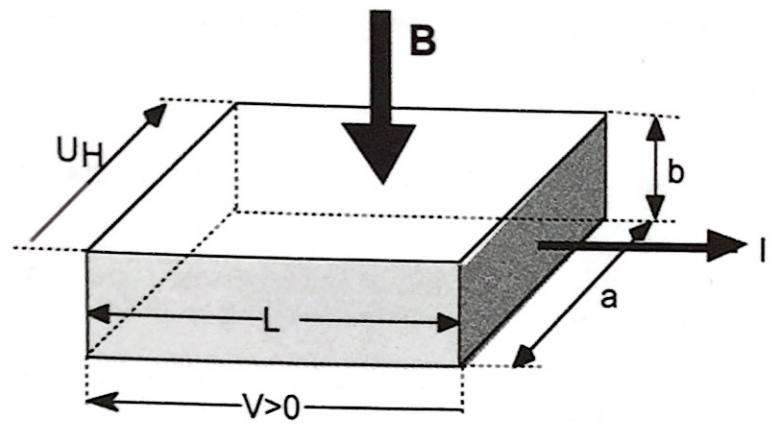


Figure C81

2) Manipulations

Matériel :	<ul style="list-style-type: none"> • un matériel spécifique : plaquette avec semi-conducteur n ou p (matériel « Phywe » ou autre) présentant 9 bornes (3 pour I, 2 pour U_H, 2 pour le chauffage, 2 pour le thermocouple) • un électroaimant et son alimentation • deux alimentations réglables (pour le courant I et pour le chauffage) • trois voltmètres + trois ampèremètres • un teslamètre pour l'étalonnage de l'électroaimant + une boussole • divers supports • éventuellement (à la place de certains instruments ci-dessus), un dispositif d'acquisition de données : capteur de champ magnétique + interface + ordinateur
------------	---

On utilise un matériel spécifique, le schéma du montage est représenté sur la figure C82.

La plaquette SC est placée dans l'entrefer d'un électroaimant ; on propose l'étude d'un SC de type n (Ge dopé n). Les dimensions du SC sont : $L = 20$ mm, $a = 10$ mm, $b = 1$ mm.

On note i le courant dans l'électroaimant et I le courant dans le SC.

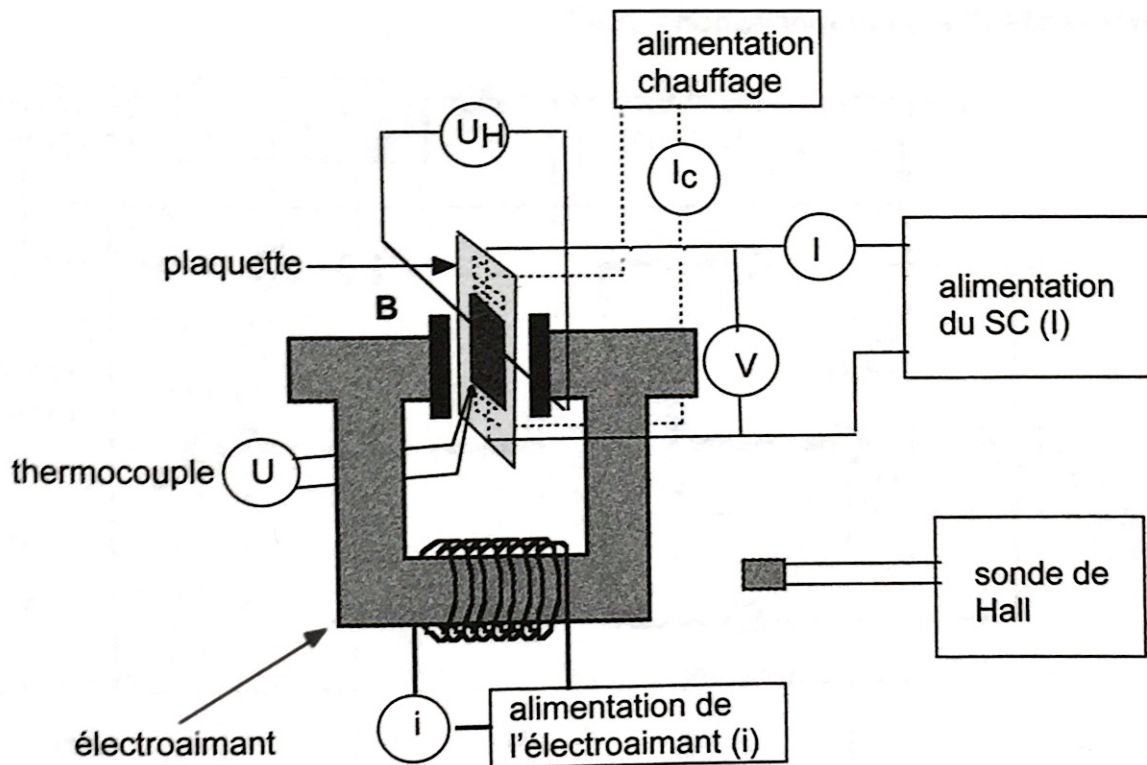


Figure C82 : schéma général du montage

- Manipulation préliminaire

À l'aide de la sonde de Hall annexe on étalonne l'électroaimant : relation $B = f(i)$ (cette opération n'est pas indispensable, si on laisse en permanence la sonde dans le montage).

NB : il peut exister un champ rémanent B_0 de l'électroaimant ; le champ total est $B = B(i) + B_0$

- Mesure de la résistivité

B étant égal à 0 ($i = 0$), on mesure U et I, on calcule la résistance R du barreau $R = \frac{U}{I}$. Sachant que

$$R = \rho \frac{L}{s} = \rho \frac{L}{ab} \text{ on en déduit la résistivité } \rho \text{ puis la conductivité } \sigma = \frac{1}{\rho}$$

Connaissant les dimensions de l'échantillon ($L = 20 \text{ mm}$, $a = 10 \text{ mm}$ et $b = 1 \text{ mm}$) l'ordre de grandeur de ρ est 2 à 3 $\Omega \cdot \text{cm}$ et σ environ 50 $\Omega^{-1} \text{ m}^{-1}$

- Compensation

On alimente le circuit avec un courant constant : I est fixé environ à 25 mA grâce au régulateur inclus dans le dispositif (figure C84) ; attention au sens de ce courant I !

Le régulateur impose un courant constant I de l'ordre de 25 mA pour une tension d'alimentation comprise entre 10 et 30 V.

Lorsque $B = 0$ ($i = 0$) on remarque que $U_H \neq 0$. Cela vient du fait qu'il existe une chute ohmique rI dans le SC due au non alignement des contacts A et B : agir sur le potentiomètre de compensation pour obtenir $U_H|_{B=0} = 0$ (figure C83).

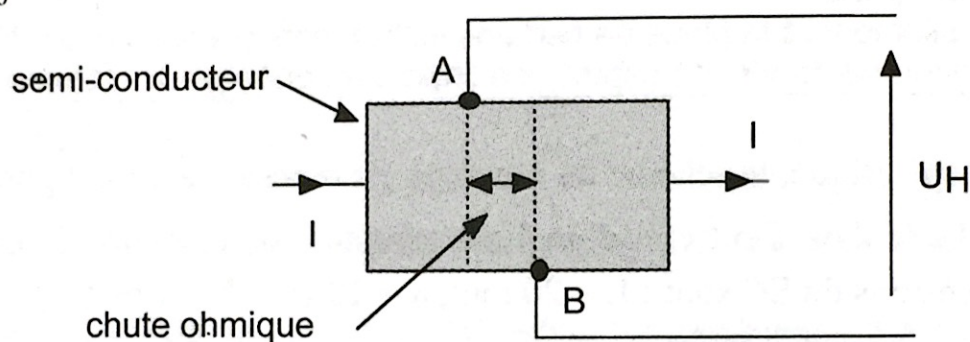


Figure C83 : nécessité d'une compensation

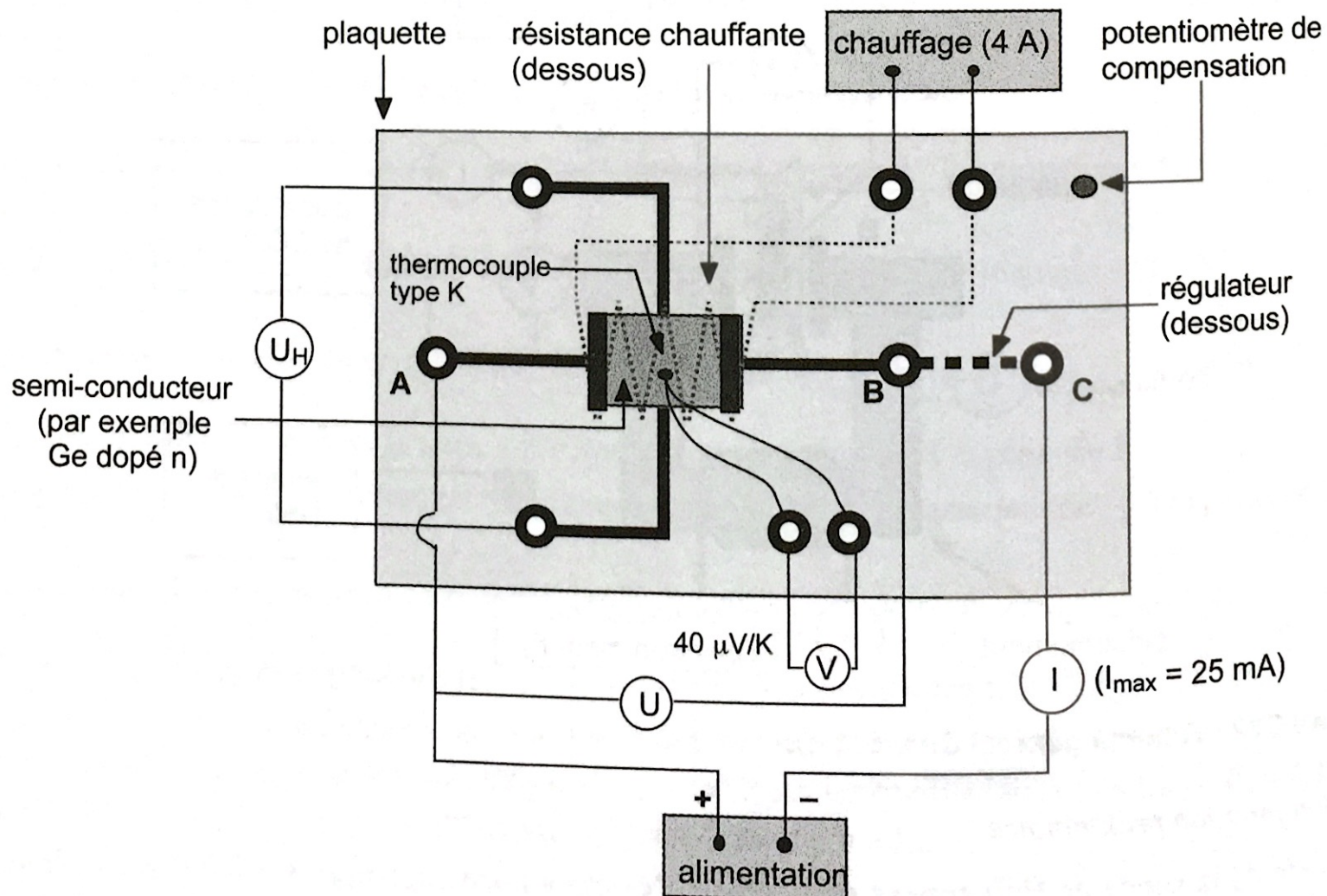


Figure C84 : détail des branchements sur la plaquette (ne jamais brancher l'alimentation entre A et B mais toujours entre A et C)

- Mesure de la tension de Hall

$B \neq 0$, on mesure U_H pour différentes valeurs de B : $U_H = \frac{IB}{neb}$. Si on dispose d'un capteur de champ magnétique étalonné (par exemple « Synchronie »), on mesure directement $U_H = f(B)$ sans utiliser l'étalonnage de l'électro-aimant (qui s'avère donc inutile).

Les résultats sont portés sur un graphe $U_H = f(B)$; on vérifie la proportionnalité de U_H et B ainsi que $U_H(-B) = -U_H(B)$.

- Exploitation

- Connaissant les sens de I , B (boussole) et U_H , on en déduit le signe des porteurs (ici signe moins).

- On détermine la *densité* des porteurs à partir de la pente p de la droite : $p = \frac{\Delta U_H}{\Delta B} = \frac{I}{neb}$.

$n = \frac{I}{peb} = \dots \text{ m}^{-3}$ (rappel métaux $n \approx 10^{29} \text{ m}^{-3}$, SC $n \approx 10^{21} \text{ m}^{-3}$, isolant $< 10^{14} \text{ m}^{-3}$).

On en déduit la *mobilité* : $\mu = \frac{\sigma}{ne} = \dots \text{ m}^2 \text{V}^{-1} \text{s}^{-1} = \dots \text{ cm}^2 \text{V}^{-1} \text{s}^{-1}$.

(ordre de grandeur $\mu = 3900 \text{ cm}^2 \text{V}^{-1} \text{s}^{-1}$).

3) Influence de la température

- Tension de Hall en fonction de T

On branche l'alimentation du chauffage ; attention à la tension et l'intensité maximum à ne pas dépasser (en général 6 V et $I_C = 4 \text{ A}$ max). En effet :

La sensibilité du thermocouple étant \simeq (en V/K), et T étant la température (en K) à mesurer, la relation entre la fem V et T est (figure C85) :

$$(T - 298)\simeq = V$$

Car le point fixe est la température ambiante $298 \text{ K} = 25^\circ\text{C}$.

Généralement, $\simeq = 40 \mu\text{V/K}$, donc :

$$(T - 298).40.10^{-6} = V$$

La température est donc donnée par :

$$T = 298 + 25000V$$

Par ailleurs, sachant que la température à ne pas dépasser est de l'ordre de 425 K (150 °C environ) pour ne pas détériorer la plaquette, la fem maximum délivrée par celui-ci devra être de :

$$V_{\text{max}} = (425 - 298) \times 40.10^{-6} = 5 \text{ mV}$$

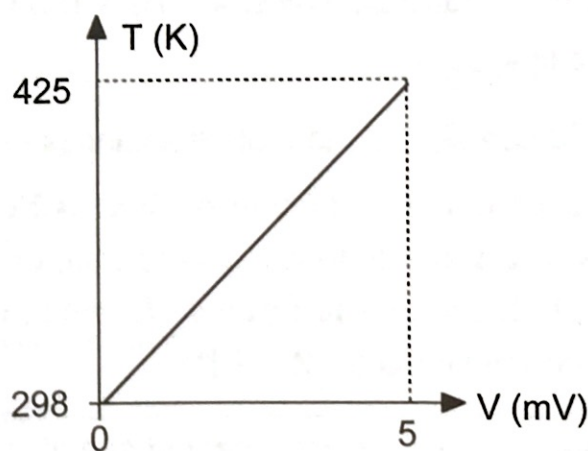


Figure C85

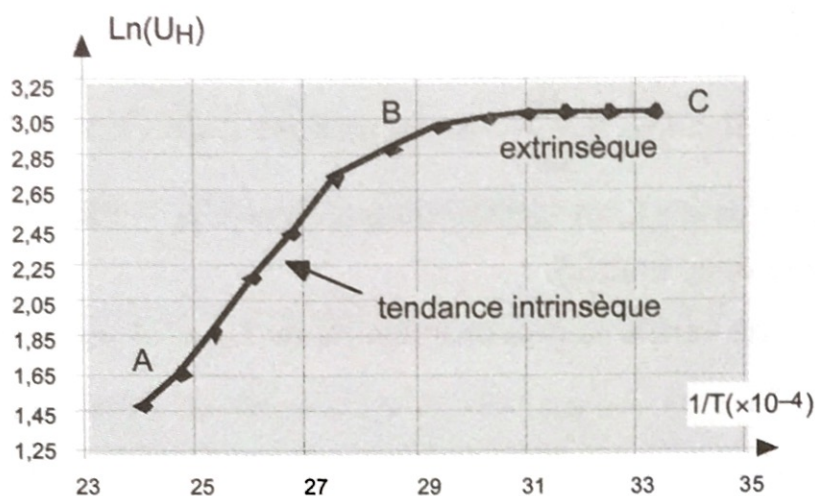
- On se fixe une valeur du champ magnétique B , puis on mesure U_H pour différentes valeurs de T .

On trace ensuite $\text{Ln}(U_H) = f(1/T)$.

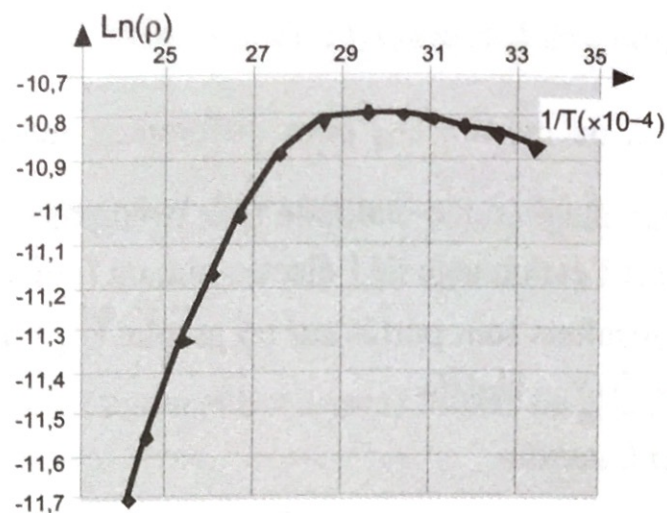
On doit obtenir une courbe de la forme donnée sur la figure C86a où l'on distingue une région BC extrinsèque (palier) et une région AB à tendance intrinsèque (haute température).

- La pente p de la droite AB permet d'évaluer très sommairement la largeur de la bande interdite du SC car, si on atteint la région complètement intrinsèque on peut écrire :

$$\text{Ln}(U_H) = C^{\text{te}} + \frac{\Delta W}{2kT} \quad \text{car} \quad U_H = \frac{IB}{neb} = C^{\text{te}} \exp\left(\frac{\Delta W}{2kT}\right)$$



(a)



(b)

Figure C86 : exemples de courbes $\text{Ln}(U_H)$ et $\text{Ln}(\rho)$ en fonction de $1/T$

Par exemple avec la plaquette Ge on obtient un « gap » de :

$$p = \frac{2,76 - 1,50}{(27,5 - 24,3)10^{-4}} = 3937,5 = \frac{\Delta W}{2k} \Rightarrow \Delta W_{(eV)} = 3937,5 \frac{2 \times 1,38 \cdot 10^{-23}}{1,6 \cdot 10^{-19}} = 0,68 eV$$

NB : la portion AB de la courbe correspond à un effet Hall avec 2 types de porteurs : les électrons (impuretés + thermiques) et les trous thermiques. Cependant, $\mu_{\text{trou}} \ll \mu_{\text{électron}}$, on « observe » donc

essentiellement un effet Hall des électrons. En toute rigueur $U_H = \frac{p\mu_{\text{trous}}^2 - n\mu_{\text{électrons}}^2}{(p\mu_{\text{trous}} + n\mu_{\text{électrons}})^2}$ donc il

existe une température (qui agit sur n et sur p) pour laquelle on doit avoir une *inversion* de l'effet Hall : $p\mu_{\text{trous}}^2 = n\mu_{\text{électrons}}^2$ (voir la page 395 de la note 11).

⇒ Cette inversion n'est observable que pour un semi-conducteur dopé p.

– Résistivité en fonction de T

Mesurer la résistance R du semi-conducteur en fonction de T : $R|_{B=0} = \frac{U}{I}$. Elle décroît fortement aux hautes températures. Tracer $\text{Ln}(\rho) = f(1/T)$; la courbe est similaire à celle de la figure C86b. En déduire le « gap ».

Expérience 3 : les magnétorésistances

C'est la variation de la résistance sous l'effet d'un champ magnétique. Généralement R augmente avec B (c'est une fonction quadratique en B pour les champs faibles). Le phénomène, tout comme l'effet Hall, est dû à la force de Lorentz, mais le modèle simple utilisé ci-dessus ne permet pas de rendre compte de la loi $R = f(B)$.

Matériel :	<ul style="list-style-type: none"> • un électroaimant et son alimentation • une magnétorésistance (contenant du NiSb) • un ohmmètre • un teslamètre
------------	---

On dispose la magnétorésistance dans l'entrefer de l'électroaimant de telle manière que j soit perpendiculaire à B .

Afin de connaître le champ B , on place également dans l'entrefer une sonde de Hall.

On fait varier B , on mesure R , puis on trace $R = f(B^2)$.

Expérience 4 : photoconduction, temps de recombinaison (voir le tome 3 à "Semi-conducteur")

La lumière crée des paires électrons-trous, donc la résistance R diminue (la conductivité $G = 1/R$ augmente) si le flux lumineux Φ augmente.